

Skript zur Vorlesung  
**Knowledge Discovery in Databases II**  
im Wintersemester 2013/2014

**Kapitel 2: Feature Selection und Feature Reduktion**

Vorlesung: PD Dr. Matthias Schubert  
Übungen: Erich Schubert

Skript © 2012 Matthias Schubert,

[http://www.dbs.ifi.lmu.de/cms/Knowledge\\_Discovery\\_in\\_Databases\\_II\\_\(KDD\\_II\)](http://www.dbs.ifi.lmu.de/cms/Knowledge_Discovery_in_Databases_II_(KDD_II))

**2. Featurereduktion und Featureselektion**

Inhalt dieses Kapitels

2.1 Einführung

Motivation, „*Curse of Dimensionality*“

2.2 Feature-Selektion

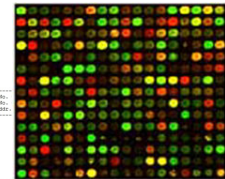
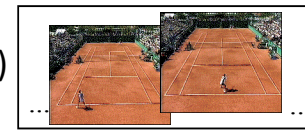
Methoden zur Auswahl geeigneter Unterräumen

2.3 Feature-Reduktion

Transformation der Feature-Räume

### Beispiele für hochdimensionale Objektdarstellungen

- Bilddaten
  - Bilddeskriptoren (Farbverteilungen, Pyramid of Gradients, Texturen,..)
  - Aufteilung der Bilder in Bereiche
  - Je nach Typ ca. 16 - 1000 Features
- Metabolomdaten
  - Feature entspricht Konzentration von Stoffwechselprodukt im Blut
  - Je nach Aufbau 50-2000 Features
- Mikro-Arrays
  - Features entsprechen z.B. Genen
  - Je nach Versuchsaufbau bis zu 20000 Features
- Texte
  - Features entsprechen Worten oder Termen
  - Je nach Anwendung 10000-20000 Features



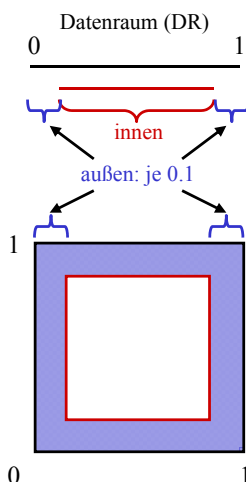
```

-----
| Identifizierung | Details: Nr. |
| Teamraum       | Menge: 10  |
|                | Platz: 40  |
-----
| 1 active Energy 214 (95%) |
| 2 active Energy 214 (95%) |
| 3 1st - Forward Counter 214 (95%) |
| 4 1st - Reverse Counter 214 (95%) |
| 5 1st - Buff. active Energy (95) |
| 6 1st - Buff. active Energy (95) |
| 7 1st - Buff. active Energy (95) |
| 8 1st - Buff. active Energy (95) |
| 9 1st - Buff. active Energy (95) |
| 10 1st - Buff. active Energy (95) |
| 11 1st - Buff. active Energy (95) |
| 12 1st - Buff. active Energy (95) |
| 13 1st - Buff. active Energy (95) |
| 14 1st - Buff. active Energy (95) |
| 15 1st - Buff. active Energy (95) |
| 16 1st - Buff. active Energy (95) |
| 17 1st - Buff. active Energy (95) |
| 18 1st - Buff. active Energy (95) |
| 19 1st - Buff. active Energy (95) |
| 20 1st - Buff. active Energy (95) |
| 21 1st - Buff. active Energy (95) |
| 22 1st - Buff. active Energy (95) |
| 23 1st - Buff. active Energy (95) |
| 24 1st - Buff. active Energy (95) |
| 25 1st - Buff. active Energy (95) |
| 26 1st - Buff. active Energy (95) |
| 27 1st - Buff. active Energy (95) |
| 28 1st - Buff. active Energy (95) |
| 29 1st - Buff. active Energy (95) |
| 30 1st - Buff. active Energy (95) |
| 31 1st - Buff. active Energy (95) |
| 32 1st - Buff. active Energy (95) |
| 33 1st - Buff. active Energy (95) |
| 34 1st - Buff. active Energy (95) |
| 35 1st - Buff. active Energy (95) |
| 36 1st - Buff. active Energy (95) |
| 37 1st - Buff. active Energy (95) |
| 38 1st - Buff. active Energy (95) |
| 39 1st - Buff. active Energy (95) |
| 40 1st - Buff. active Energy (95) |
| 41 1st - Buff. active Energy (95) |
| 42 1st - Buff. active Energy (95) |
| 43 1st - Buff. active Energy (95) |
| 44 1st - Buff. active Energy (95) |
| 45 1st - Buff. active Energy (95) |
| 46 1st - Buff. active Energy (95) |
| 47 1st - Buff. active Energy (95) |
| 48 1st - Buff. active Energy (95) |
| 49 1st - Buff. active Energy (95) |
| 50 1st - Buff. active Energy (95) |
| 51 1st - Buff. active Energy (95) |
| 52 1st - Buff. active Energy (95) |
| 53 1st - Buff. active Energy (95) |
| 54 1st - Buff. active Energy (95) |
| 55 1st - Buff. active Energy (95) |
| 56 1st - Buff. active Energy (95) |
| 57 1st - Buff. active Energy (95) |
| 58 1st - Buff. active Energy (95) |
| 59 1st - Buff. active Energy (95) |
| 60 1st - Buff. active Energy (95) |
| 61 1st - Buff. active Energy (95) |
| 62 1st - Buff. active Energy (95) |
| 63 1st - Buff. active Energy (95) |
| 64 1st - Buff. active Energy (95) |
| 65 1st - Buff. active Energy (95) |
| 66 1st - Buff. active Energy (95) |
| 67 1st - Buff. active Energy (95) |
| 68 1st - Buff. active Energy (95) |
| 69 1st - Buff. active Energy (95) |
| 70 1st - Buff. active Energy (95) |
| 71 1st - Buff. active Energy (95) |
| 72 1st - Buff. active Energy (95) |
| 73 1st - Buff. active Energy (95) |
| 74 1st - Buff. active Energy (95) |
| 75 1st - Buff. active Energy (95) |
| 76 1st - Buff. active Energy (95) |
| 77 1st - Buff. active Energy (95) |
| 78 1st - Buff. active Energy (95) |
| 79 1st - Buff. active Energy (95) |
| 80 1st - Buff. active Energy (95) |
| 81 1st - Buff. active Energy (95) |
| 82 1st - Buff. active Energy (95) |
| 83 1st - Buff. active Energy (95) |
| 84 1st - Buff. active Energy (95) |
| 85 1st - Buff. active Energy (95) |
| 86 1st - Buff. active Energy (95) |
| 87 1st - Buff. active Energy (95) |
| 88 1st - Buff. active Energy (95) |
| 89 1st - Buff. active Energy (95) |
| 90 1st - Buff. active Energy (95) |
| 91 1st - Buff. active Energy (95) |
| 92 1st - Buff. active Energy (95) |
| 93 1st - Buff. active Energy (95) |
| 94 1st - Buff. active Energy (95) |
| 95 1st - Buff. active Energy (95) |
| 96 1st - Buff. active Energy (95) |
| 97 1st - Buff. active Energy (95) |
| 98 1st - Buff. active Energy (95) |
| 99 1st - Buff. active Energy (95) |
| 100 1st - Buff. active Energy (95) |

```

### „Fluch der Dimensionalität“ (Curse of Dimensionality)

- Distanz zum nächsten Nachbarn unterscheidet sich im Hochdimensionalen kaum von der Distanz zu einem beliebigen Nachbarn
 
$$\frac{\text{nächsteNachbarnDist}}{\text{entferntesteNachbarnDist}} \approx 1$$
- Die Wahrscheinlichkeit, dass Datenobjekte am Rand des Datenraumes liegen, steigt mit der Anzahl der Dimensionen exponentiell



1D:  $P_{DR} = 1^1 = 1$   
 $P_{innen} = 0.8^1 = 0.8$   
 $P_{außen} = 1 - 0.8 = 0.2$

2D:  $P_{DR} = 1^2 = 1$   
 $P_{innen} = 0.8^2 = 0.64$   
 $P_{außen} = 1 - 0.64 = 0.36$

3D:  $P_{DR} = 1^3 = 1$   
 $P_{innen} = 0.8^3 = 0.512$   
 $P_{außen} = 1 - 0.512 = 0.488$

10D:  
 $P_{außen} = 0.893$

andere Effekte des *Curse of Dimensionality*:

- Die Werte in jeder Dimension sind verrauscht.  
D.h. die Werte schwanken durch Störeinflüsse, die mit dem Objekt an sich nichts zu tun haben.
- Bei zunehmender Dimensionalität wird die Summe der Störeinflüsse so groß, dass die beobachteten Unterschiede zwischen 2 Objekten von den Störeinflüssen dominiert werden.  
=> Summe der Unterschiede hängt von der Ausprägung der Störeinflüsse ab und nicht von den Objekteigenschaften.  
=> Abstand zwischen Objekt gleicht sich immer weiter an, da Störeinflüsse gleichverteilt über alle Objekte.

- Patterns und Modelle auf hochdimensionalen Daten sind oft schwer interpretierbar.  
⇒ Lange Entscheidungsregeln
- Effizienz bei hochdimensionalen Daten häufig problematisch.  
⇒ Indexstrukturen degenerieren auf hochdimensionalen Daten  
⇒ Distanzberechnungen werden i.d.R. teurer
- Muster treten nur in Teilräumen auf, aber nicht im gesamten Featureerraum
- Cliques von korrelierten Features dominieren das Objektverhalten.

**Idee:** Bei sehr vielen Features sind nicht alle notwendig, um die Daten zu beschreiben:

- Features sind nicht aussagekräftig für ein Problem
- Informationsgehalt stark korrelierter Features ist fast identisch

Die Einschränkung auf einen Teilraum des gesamten Datenraums kann Verfahren effizienter und effektiver machen.

**Lösung:**

Streiche alle „überflüssigen“ Dimensionen aus dem Feature-Raum.

**Gegeben:** Vektorraum  $F = D_1 \times \dots \times D_n$  mit  $D = \{D_1, \dots, D_n\}$ .

**Gesucht:** Minimaler Unterraum  $M$  über  $D \subseteq D$ , der für ein gegebenes Data Mining Problem eine optimale Lösung erlaubt.

=> Minimalität erhöht Effizienz und verringert den Curse-of-Dimensionality.

**Probleme:**

- Optimalität hängt unmittelbar mit dem anschließend verwendeten Data Mining Algorithmus zusammen.
  - Problem ist sehr komplex, da es  $2^d$  mögliche Unterräume gibt.
  - Die meisten Qualitätsmaße haben keine Monotonie-Eigenschaften.  
(Features können erst in Kombination mit anderen Features nützlich werden)
- => Suche läuft meist über Heuristiken, die für ein gegebenes Qualitätsmaß nicht den besten sondern nur einen guten Raum findet

1. Forward Selektion und Feature Ranking  
Information Gain ,  $\chi^2$ -Statistik, Mutual Information
2. Backward Elimination und Zufällige Unterräume  
Nächste Nachbarn Kriterium, Modellbasierte Suche
3. Branch and Bound Suche mit Inkonsistenzmaß
4. Genetische Algorithmen zur Unterraum-Suche
5. Feature Clusterings für Unsupervised Probleme

**Gegeben:** Ein Supervised Learning Task

- eine Zielvariable  $C$  soll vorhergesagt werden
- es gibt Trainingsobjekte für die Relation zwischen Feature-Raum und Klassenvariable

**Vorgehen**

- Berechne Güte  $G(D_i, C)$  für jede Dimension  $D_i \in \{D_1, \dots, D_n\}$  und die Zielvariable  $C$
- Sortiere Dimensionen  $\{D_1, \dots, D_n\}$  nach Güte  $G(D_i, C)$
- Wähle die  $k$  besten Dimensionen

**Annahme:**

Feature sind außer über die Zielvariable nicht direkt korreliert  
=> es reicht aus die Korrelation zwischen Feature und Zielvariable zu untersuchen

Wie gut kann die Zielvariable bei gegebenen Feature-Wert vorhergesagt werden?

Bewertung der Features über statistische Maße:

- Basieren auf Verteilungen bzgl. der Klassen und der Feature-Werte  
Achtung bei reellen Features ist Schätzung einer Zufallsvariable nicht direkt durchführbar. Daher:
  - Split zur Umwandlung von reellen Features in diskrete Features
  - Annahme über Verteilungsfunktion (z.B. Normalverteilung,..)
- Wie stark korrelieren die Verteilungen von Klassen und Features?
- Wie stark unterscheidet sich Aufteilung bzgl. dieses Features von einer zufälligen Aufteilung ?

**Idee:** Bewerte wie gut jede Dimension die Klassen „unterscheidet“.  
(vgl. Entscheidungsbäume)

Zerlege Trainingsmenge anhand Feature/Unterraum in Teilmengen  
(Unterteilung: nach Werten oder Splitkriterien).

Die *Entropie* für eine Menge  $T$  von Trainingsobjekten ist definiert als

$$entropie(T) = -\sum_{i=1}^k p_i \cdot \log p_i \quad (p_i \text{ steht für Häufigkeit der Klasse } i \text{ in } T)$$

$$entropie(T) = 0, \text{ falls } p_i = 1 \text{ für ein } i$$

$$entropie(T) = 1 \text{ für } k = 2 \text{ Klassen mit } p_i = 1/2$$

$$\text{Informationsgewinn}(T, a) = entropie(T) - \sum_{j=1}^m \frac{|T(a)_j|}{|T|} \cdot entropie(T(a)_j)$$

mit  $T(a)_j$  Teilmenge von  $T$ , für die Attribut  $a$  den Wert  $j$ -ten Wert annimmt.

Bei reell wertigen Attributen muss ein Split gefunden werden.

**Idee:** Bewertet Unabhängigkeit einer Dimension von einer Klasse.

Aufteilung der Daten anhand der Splitwerte  $s$  oder anhand diskreter Attributwerte

$$A = \left| \{o \mid x \leq s \wedge \text{Class}(o) = C_j\} \right| \quad \text{Objekte in } C_j \text{ mit Wert } x \leq \text{Splitwert}$$

$$B = \left| \bigcup_{l \neq j} \{o \mid x \leq s \wedge \text{Class}(o) = C_l\} \right| \quad \text{Objekte anderer Klassen mit } x \leq \text{Splitwert.}$$

$$C = \left| \{o \mid x > s \wedge \text{Class}(o) = C_j\} \right| \quad \text{Objekte in } C_j \text{ mit } x > \text{Splitwert.}$$

$$D = \left| \bigcup_{l \neq j} \{o \mid x > s \wedge \text{Class}(o) = C_l\} \right| \quad \text{Objekte anderer Klassen, mit } x > \text{Splitwert}$$

χ<sup>2</sup>-Statistik ist definiert durch: 
$$\chi^2(t, C_j) = \frac{|DB| (AD - CB)^2}{(A + C)(B + D)(A + B)(C + D)}$$

Je höher Maximum oder Durchschnitt über alle Klassen desto besser das Feature  $a$ :

$$\chi_{\max}^2(a) = \max_{i=1}^m \{ \chi^2(a, C_i) \} \quad \text{oder} \quad \chi_{\text{avg}}^2(a) = \sum_{i=1}^m \text{Pr}(C_i) \chi^2(a, C_i)$$

Maß für gegenseitige Abhängigkeit zweier Zufallsvariablen.

**Hier:** Vergleich der Abhängigkeit von der allgemeinen Klassenverteilung mit Verteilung der Feature Vektoren.

1. Diskreter Fall.

$$I(X, Y) = \sum_{y \in Y} \sum_{x \in X} p(x, y) \log \frac{p(x, y)}{p(x)p(y)}$$

2. Kontinuierlicher Fall

$$I(X, Y) = \int_Y \int_X p(x, y) \log \frac{p(x, y)}{p(x)p(y)} dx dy$$

rel. Häufigkeit der Wertekombination  $x, y$

Term der die Abhängigkeit darstellt:  
bei Unabhängigkeit  $p(x, y) = p(x)p(y)$   
 $\Rightarrow \log(1) = 0$

### Vorteile:

- Effizient da nur  $d$  einzelne Features statt  $\binom{d}{k}$  Unterräumen untersucht werden
- Abschätzung der Verteilungen benötigt moderate Anzahl an Beispielen

### Nachteil:

- Dimensionen werden einzeln betrachtet: Klasse und Dimensionswert müssen direkt korreliert sein. Erkennt keine nicht achsenparallelen Muster.
- Korrelierte Dimensionen: Auswahl von bedeutungsgleichen Dimensionen falls diese am stärksten mit der Klasse korreliert sind

**Idee:** Starte mit dem gesamten Feature-Raum und lasse unnütze Feature weg.

**Vorgehen:** Greedy Backward Elimination

1. Generiere alle Unterräume  $R$  des Feature-Raums  $F$
2. Bewerte alle Unterräume  $R$  mit Gütekriterium für Räume  $G(R)$
3. Wähle den besten Unterraum  $R^*$
4. Fall  $R^*$  die Zieldimensionalität hat, wird Suche abgebrochen.  
Ansonsten wird Algorithmus mit  $R^*$  aufgerufen.

### Anwendung:

- kann für supervised oder unsupervised Verfahren verwendet werden ( $G(R)$  kann sich auch an strukturellen Eigenschaften orientieren und braucht keine Zielvariable)
- Heuristische Suche, die nur Sinn ergibt wenn  $G(R)$  nicht monoton ist => bei Monotonie kann exakt mit Branch and Bound gesucht werden.

**Idee:** Unterraum ist gut, wenn Abstand von Objekten innerhalb einer Klasse durchschnittlich kleiner ist, als zwischen Objekten unterschiedlicher Klassen.

**Qualitätsmaß:**

Für alle Objekte  $o \in DB$  berechne den nächsten Nachbarn in Klasse  $C=Class(o)$   $NN_C(o)$  und den kleinsten nächsten Nachbarn  $NN_{K \neq C}(o)$  in einer der anderen Klassen .

$$\text{Güte des Unterraums } U: Q(U) = \frac{1}{|DB|} \cdot \sum_{o \in DB} \frac{NN_{K \neq C}^U(o)}{NN_C^U(o)}$$

**Bemerkung:** Kriterium ist nicht monoton.

=> Durch Streichen einer Dimension kann die Qualität besser oder auch schlechter werden.

**Idee:** Teste den Unterraum direkt damit, wie gut er für das gegebene Data Mining Problem funktioniert.

**Beispiel:** Bewerte jeden Teilraum mit einem Naive Bayes Klassifikator und 10-facher Überkreuzvalidierung auf einer Stichprobe von 200 Instanzen.

**Anwendung:**

- Erfolg des Data Mining Algorithmus muss messbar sein.  
(z.B. Klassifikationsgenauigkeit)
- Laufzeit sollte nicht zu hoch sein
- Parameter Auswahl sollte keinen zu hohen Einfluss haben
- Testmenge sollte überschaubar sein

### Vorteile:

- Betrachtet ganze Unterräume anstatt einzelner unabhängiger Dimensionen (mehrfache Abhängigkeiten der Zielvariable bleiben erhalten)
- Redundante Features können also solche erkannt und entfernt werden.

### Nachteile:

- Tests bzgl. der Qualität eines Unterraums sind meist wesentlich aufwendiger.
- Ansatz ist ebenfalls nur eine Heuristik da es keine Monotonie gibt.

**Gegeben:** Klassifikationsproblem über  $F$ .

**Ziel:** Selektiere  $k$  Dimensionen

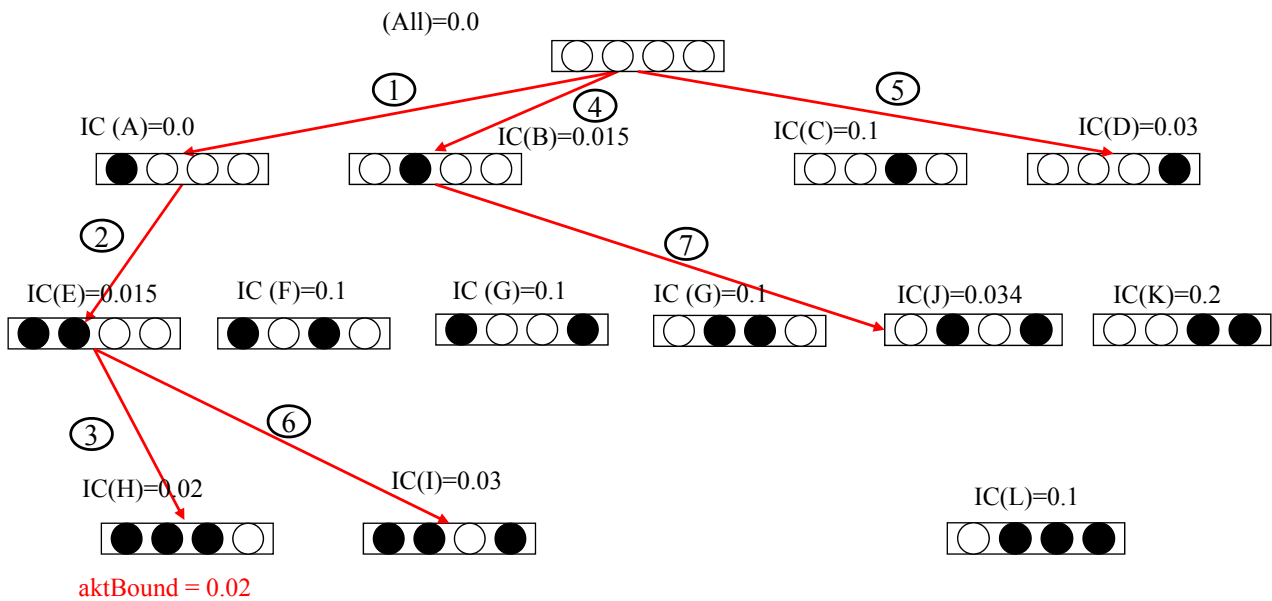
Backward-Elimination mit Branch and Bound:

```

FUNCTION BranchAndBound(Featurespace F, int k)
    queue.init(ASCENDING);
    queue.add(F, Guete(F))
    aktBound:= INFINITY;
    WHILE queue.NotEmpty() and aktBound > queue.top() DO
        aktURaum := queue.top();
        FOR ALL Unterräume U von aktURaum DO
            IF U.dimensionality() = k THEN
                IF Guete(U) < aktBound THEN
                    aktBound := Guete(U);
                    BestURaum := U;
            ELSE
                queue.add( U, Guete(U));
    RETURN BestURaum
    
```

Beispiel:  $k = 1$ .

○ Feature selektiert    ● Feature ausgeschlossen



**Idee:** Existieren im Unterraum  $U$  identische Vektoren  $u, v$  mit  $v_i = u_i, 1 \leq i \leq d$  aber unterschiedlichen Klassen Labels  $C(u) \neq C(v)$ .

=> Unterraum ist inkonsistent

Maß für die Konsistenz des Unterraums  $U$ :

- $X_U(A)$ : Anzahl aller zu  $A$  identischen Vektoren in  $U$
- $X_U^c(A)$ : Anzahl aller zu  $A$  identischen Vektoren in  $U$  die zur Klasse  $C$  gehören
- $IC_U(A)$ : Inkonsistenz bzgl.  $A$  in  $U$

$$IC_U(A) = X_U(A) - \max_{c \in C} X_U^c(A)$$

$$\text{Für ganz } U: IC(U) = \frac{\sum_{A \in DB} IC_U(A)}{|DB|}$$

Monotonie:  $U_1 \subset U_2 \Rightarrow IC(U_1) \geq IC(U_2)$

### Vorteile:

- Monotonie ermöglicht die effiziente Suche nach optimalen Unterräumen mit Branch and Bound
- Gut geeignet für Binäre Attribute, da hier die Wahrscheinlichkeit von identischen Vektoren hoch ist.

### Nachteil:

- Schlecht geeignet für numerische Attribute (ohne identische Vektoren nutzlos)
- Worst-Case Laufzeit immer noch exponentiell in  $d$

**Idee:** Wähle  $n$  zufällige Teilräume der Zieldimensionalität  $k$  aus  $\binom{d}{k}$  mögliche Teilräumen, teste diese und nimm den besten.

### Anwendung:

- Benötigt Qualitätsmaß für ganze Teilräume.
- Aufwand und Qualität hängen stark von der Anzahl der Sample-Teilräume  $n$  ab.

### Nachteil:

- Sucht nicht gezielt nach guter Kombination aussagekräftiger und unabhängiger Attribute
- Aufwand stark von der Wahl des Parameter  $n$  und angewendeten dem Qualitätsmaß abhängig.

**Idee:** Versuche gezielt hochqualitative Unterräume zu generieren.

**Ansatz:**

- **Population von Lösungen** := Menge  $k$ -dimensionaler Unterräume
- **Fitnesskriterium:** Qualitätsmaß für Unterräume
- **Mutationregel und Mutationwahrscheinlichkeit:**  
mit Wahrscheinlichkeit  $x\%$  wird Dimension  $D_i$  in  $U$  durch  $D_j$  ersetzt
- **Fortpflanzung:** Kombinationsregel für 2 Unterräume  $U1$  und  $U2$ :  
Wähle  $50\%$  der Dimensionen aus  $U1$  und  $50\%$  aus  $U2$
- **Selektionsregel:** Alle Kandidationräume die  $z\%$  schlechtere Fitness haben als der beste der bisherigen Generation sind nicht lebensfähig.
- **Freilos:** Zusätzlich zur Selektion kann jeder Unterraum mit Wahrscheinlichkeit  $u\%$  in die nächste Generation übernommen.

**Ablauf:**

Initialisiere Population

WHILE Max\_Fitness > Old\_Fitness DO

Mutiere Population gemäß Mutationsrate

WHILE nextGeneration < PopulationSize DO

Generiere neuen Kandidaten  $K$  durch Fortpflanzung

IF  $K$  hat Freilos oder  $K$  ist fit enough THEN

$K$  darf in die nächste Generation

RETURN fittestester Unterraum

### Bemerkung:

- hier nur Skizze des Grundalgorithmus (viele Erweiterungen)
- Konvergenz meist nur unter „Simulated Annealing“  
(Freiloswahrscheinlichkeit sinkt mit Anzahl der Generationen)

### Vorteil:

- Vermeidung von lokalen Maxima
- häufig gute Approximation des optimalen Unterraums

### Nachteile:

- kann lange Laufzeiten aufweisen
- viele Parameter müssen richtig gewählt werden, um einen guten Trade-Off zwischen Qualität und Laufzeit zu erzielen

**Gegeben:** Clusteringproblem über  $F$ .

**Ziel:** Reduziere Featurespace auf  $k$  Dimensionen.

**Vorgehen:** Da man irrelevante Attribute nicht erkennen kann, beschränkt man sich auf die Elimination von redundanter Information.

**Idee:** Clustere Features im Raum der Objekte und selektiere einen repräsentativen Feature pro Cluster.

Maß für die Abhängigkeit Ähnlichkeit der Features:

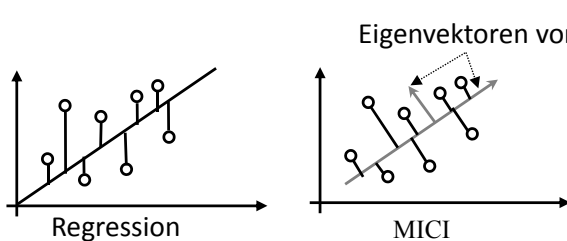
Korrelation zwischen 2 Features: 
$$COR(X, Y) = \frac{COV(X, Y)}{\sqrt{VAR(X)} \sqrt{VAR(Y)}}$$

Maximaler Information Compression Index (MICI):

**Idee:** Messe den kleinsten Eigenwert der Kovarianzmatrix  $\Sigma$  zwischen beiden verglichenen Unterräumen.

$$\begin{aligned} \det(\Sigma - \lambda E) &= \det \begin{pmatrix} \text{VAR}(X) - \lambda & \text{COV}(X, Y) \\ \text{COV}(X, Y) & \text{VAR}(Y) - \lambda \end{pmatrix} \\ &= (\text{VAR}(X) - \lambda) \cdot (\text{VAR}(Y) - \lambda) - \text{COV}(X, Y)^2 \\ \Rightarrow 0 &= \lambda^2 - \lambda \cdot \text{VAR}(Y) - \lambda \cdot \text{VAR}(X) + \text{VAR}(X) \cdot \text{VAR}(Y) - \text{COV}(X, Y)^2 \\ \Rightarrow \lambda &= \frac{(\text{VAR}(Y) + \text{VAR}(X)) \pm \sqrt{(\text{VAR}(Y) + \text{VAR}(X))^2 + 4 \cdot 1 \cdot \text{VAR}(X) \cdot \text{VAR}(Y) - \text{COV}(X, Y)^2}}{2 \cdot 1} \end{aligned}$$

$$\text{MICI}(X, Y) = \text{VAR}(Y) + \text{VAR}(X) - \sqrt{(\text{VAR}(Y) + \text{VAR}(X))^2 + 4 \cdot \text{VAR}(X) \cdot \text{VAR}(Y) - \text{COV}(X, Y)^2}$$



MICI:

- Symmetrisch
- Kann aus beiden Dimensionen 1 gebildet werden, die die gesamte Information beider widerspiegelt.

**Ablauf:**

- Cluster Feature mit  $k$ -medoid Clustering für  $k$  Cluster und Abstandsmaß MICI.
- Selektiere die Clusterrepräsentanten als Feature-Dimensionen

**Bemerkung:**

- Versucht für jede Gruppe abhängiger Dimensionen eine representative Dimension
- Anwendung anderer Clustering Algorithmen denkbar.  
(K-Means: Wähle Dimension die am nächsten am Cluster-Centroid liegt)
- Häufig werden Cluster-Algorithmen für Streams verwendet, wegen Ihrer Laufzeit  $O(d)$

### Vorteile:

- Verhältnismäßig schnelle Selektionsmethode
- Kommt ohne Klasseneinteilung aus

### Nachteile:

- Meist kein eindeutiges Ergebnis, da Clustering von Parametern und Reihenfolge abhängen kann.
- Repräsentative Dimensionen wechseln bei unterschiedlichen Cluster Algorithmen
- basiert auf paarweiser Korrelation  
=>höherwertige Dimensionen werden nicht untersucht.

- *Forward-Selection*: Untersuche einzelne Dimensionen  $D' \in \{D_1, \dots, D_d\}$ . und bilde neue Unterräume durch Kombination.
  - Greedy Selection mit Information Gain,  $\chi^2$  Statistik oder Mutual Information
- *Backward-Elimination*: Beginne mit dem gesamten Featurespace  $F$  und entferne überflüssige Dimensionen.
  - Greedy Elimination mit dem Modelbasierten oder Nächsten Nachbar Ansätzen
  - Branch and Bound Suche auf Basis des Inkonsistenzkriteriums
- *k-dimensionale Projektionen*: Suche direkt in der Menge der k-dimensionalen Unterräume nach einem geeigneten
  - Genetische Algorithmen zu Suche geeigneter Teilräume (Qualität wie beim Backward Elimination)
  - Feature Clustering mit dem MICI

### Diskussion:

- Viele Algorithmen basierend auf unterschiedlichen Heuristiken
- Feature können aus 2 Gründen eliminiert werden:
  - es existieren andere bedeutungsgleiche Feature (Redundanz)
  - Features sind nicht mit der Aufgabe korreliert
- häufig können auch schon nicht optimale Ergebnisse sowohl Effizienz als auch Effektivität verbessern
- **Vorsicht:** Selektierte Features müssen keinen direkten Einfluß auf Zielvariable haben, sondern können auch nur von den gleichen versteckten Einflüssen abhängen.

- Gründe für Feature Selektion
- Curse-of-Dimensionality
- Forward Selection und Feature Ranking
  - Information Gain
  - $\chi^2$  Statistik
  - Mutual Information
- Backward Elimination
  - Modelbasierte Güte
  - Nächste Nachbar Methode
  - Inkonsistenz und Branch & Bound
- k-dimensionale Projektionen
  - Genetische Algorithmen
  - Feature Clustering

- A. Blum and P. Langley: *Selection of Relevant Features and Examples in Machine Learning*, Artificial Intelligence (97), 1997
- H. Liu and L. Yu: *Feature Selection for Data Mining (WWW)*, 2002
- L.C. Molina, L. Belanche, Â. Nebot: *Feature Selection Algorithms: A Survey and Experimental Evaluations*, ICDM 2002, Maebashi City, Japan
- P. Mitra, C.A. Murthy and S.K. Pal: *Unsupervised Feature Selection using Feature Similarity*, IEEE Transactions on pattern analysis and Machine intelligence, Vol. 24. No. 3, 2004
- J. Dy, C. Brodley: *Feature Selection for Unsupervised Learning*, Journal of Machine Learning Research 5, 2004
- I. Guyon, A. Elisseeff: *An Introduction to Variable and Feature Selection*, Journal of Machine Learning Research 3, 2003
- M. Dash, H. Liu, H. Motoda: *Consistency Based Feature Selection*, 4th Pacific-Asia Conference, PADKK 2000, Kyoto, Japan, 2000

**Idee:** Anstatt Features einfach wegzulassen, generiere einen neuen niedrigdimensionalen Feature-Raum aus allen Features:

- Redundante Features können zusammengefasst werden
- Irrelevantere Features haben einen entsprechend kleineres Gewicht in den neuen Features

**Lösungsansätze:**

- Referenzpunktansatz
- Hauptkomponentenanalyse (PCA)
- Singulärwert-Zerlegung (SVD)
- Fischer-Faces (FF) und Relevant Component Analysis (RCA)
- Large Margin Nearest Neighbor (LMNN)

## Idee:

Position eines Objekts kann häufig recht gut über den Abstand zu anderen Objekten beschrieben werden.

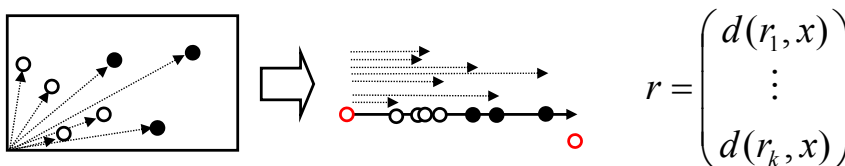
Wähle  $k$  Referenzpunkte und beschreibe Objekte über den  $k$ -dimensionalen Vektor der Abstände zu den Referenzpunkten.

**Gegeben:** Vektorraum  $F = D_1 \times \dots \times D_n$  mit  $D = \{D_1, \dots, D_n\}$ .

**Gesucht:**  $k$ -dimensionaler Raum  $R$ , der für ein gegebenes Data Mining Problem eine optimale Lösung erlaubt.

**Methode:** Für die Menge der Referenzpunkte  $R = \{r_1, \dots, r_k\}$  und Distanzmaß  $d(\cdot)$ :

Transformation von Vektor  $x \in F$ :



- Abstandsmaß ist meist durch Applikation gegeben.
- Auswahl der Referenzpunkte:
  - Wähle Centroide der Klassen oder Cluster-Centroide als Referenzpunkte
  - Häufig Wahl der Referenzpunkte am Rand und möglichst weit weg von allen Datenobjekten.

## Vorteile:

- leicht umzusetzender Ansatz

## Nachteil:

- selbst bei gleicher Feature Anzahl ist die Abbildung nicht eindeutig
- Performanz stark von der Wahl der Referenzpunkte abhängig.

## Basics über Vektoren und Matrizen:

- Inneres Produkt von zwei Vektoren  $x, y$ :

$$x \cdot y^T = (x_1 \ \dots \ x_d) \cdot \begin{pmatrix} y_1 \\ \vdots \\ y_d \end{pmatrix} = \langle x, y \rangle = \sum_{i=1}^d x_i \cdot y_i$$

- Äußeres Produkt von zwei Vektoren  $x, y$ :

$$x^T \cdot y = \begin{pmatrix} x_1 \\ \vdots \\ x_d \end{pmatrix} \cdot (y_1 \ \dots \ y_d) = \begin{pmatrix} x_1 y_1 & \dots & x_1 y_d \\ \vdots & \ddots & \vdots \\ x_d y_1 & \dots & x_d y_d \end{pmatrix}$$

- Matrix-Multiplikation:

$$\begin{pmatrix} \bar{x}_1 \\ \vdots \\ \bar{x}_n \end{pmatrix} \cdot (\bar{y}_1 \ \dots \ \bar{y}_m) = \begin{pmatrix} \langle \bar{x}_1, \bar{y}_1 \rangle & \dots & \langle \bar{x}_1, \bar{y}_m \rangle \\ \vdots & \ddots & \vdots \\ \langle \bar{x}_n, \bar{y}_1 \rangle & \dots & \langle \bar{x}_n, \bar{y}_m \rangle \end{pmatrix}$$

- Gegeben eine Menge von  $n$  Vektoren  $v_i \in \mathbb{R}^d$ , die  $n \times d$  Matrix

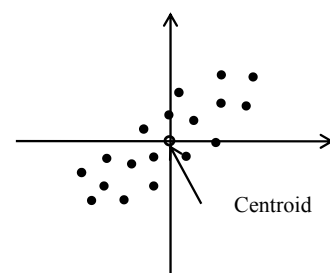
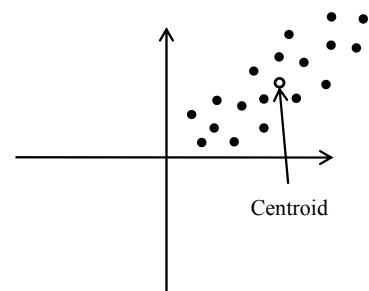
$$D = \begin{pmatrix} v_1 \\ \vdots \\ v_d \end{pmatrix} = \begin{pmatrix} v_{1,1} & \dots & v_{1,d} \\ \vdots & \ddots & \vdots \\ v_{n,1} & \dots & v_{n,d} \end{pmatrix} \text{ heißt Datenmatrix}$$

- Centroid/Erwartungsvektor einer Datenmenge:

$$\bar{\mu} = \frac{1}{n} \cdot \sum_{i=1}^n v_i$$

- Zentrierte Datenmatrix:

$$D_{cent} = \begin{pmatrix} v_1 - \bar{\mu} \\ \vdots \\ v_d - \bar{\mu} \end{pmatrix}$$



- Quadratische Form oder Mahalanobis Distanz:

$$d_A(x, y) = \left( (x-y)A(x-y)^T \right)^{\frac{1}{2}} = \sqrt{(x-y) \begin{pmatrix} A_{1,1} & \dots & A_{1,d} \\ \vdots & \ddots & \vdots \\ A_{d,1} & \dots & A_{d,d} \end{pmatrix} (x-y)^T} = \sqrt{\sum_{i=1}^d \sum_{j=1}^d (x_i - y_i) A_{i,j} (x_j - y_j)}$$

**Bemerkung:** Ist A symmetrisch und positiv definit dann ist  $d_M$  eine Metrik.

- Gewichtete euklydische Distanz: A ist eine Diagonalmatrix mit  $A_i > 0$  :

$$d_A(x, y) = \sqrt{(x-y) \begin{pmatrix} A_1 & \dots & 0 \\ \vdots & \ddots & \vdots \\ 0 & \dots & A_d \end{pmatrix} (x-y)^T} = \sqrt{\sum_{i=1}^d A_i (x_i - y_i)^2}$$

- **Zusammenhang Basistransformation:**

Wenn es ein symmetrische Zerlegung von  $A = B \cdot B^T$  gibt, dann entspricht die Mahalanobis Distanz der euklydischen Distanz im mit B transformierten Raum:

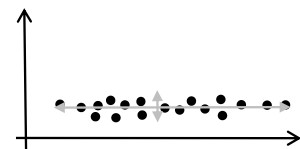
$$d_M(x, y) = \left( (x-y)B \cdot B^T (x-y)^T \right)^{\frac{1}{2}} = \left( (xB - yB) \cdot (xB - yB)^T \right)^{\frac{1}{2}} = d_{euc}(xB, yB)$$

- Welche Attribute sind die wichtigsten für die Bestimmung der Distanz?

=> Attribute mit stark unterschiedlichen Werten  $|x_i - y_i|$

=> Abstand zum Erwartungswert ist groß  $|x_i - \mu_i|$

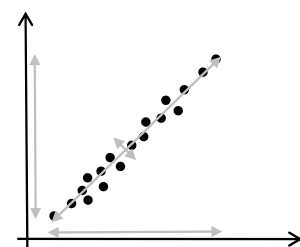
=> Varianz ist groß:  $\frac{1}{n} \sum_{i=1}^n (x_i - \mu_i)^2$



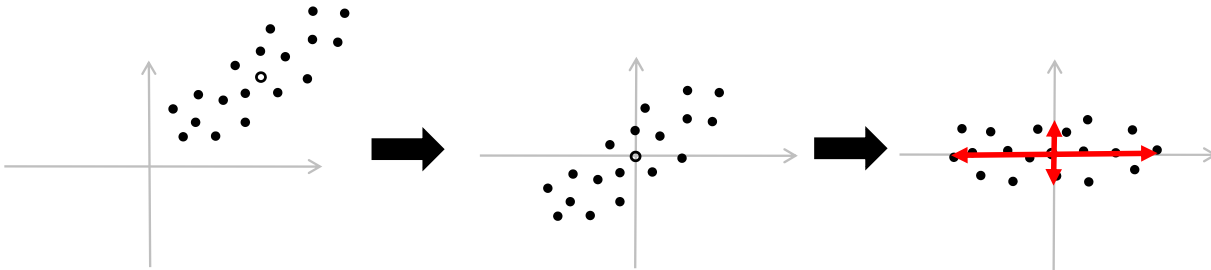
**Idee:** Varianzanalyse (eigtl. unsupervised Feature Selection)

- Attribute mit großer Varianz ermöglichen Unterscheidung von Objekten
- Attribute mit kleiner Varianz: alle Objekte sind ähnlich unterschiedlich
- Vorgehen
  - Bestimme Varianz der Werteverteilung in allen Dimensionen
  - Sortiere alle Features absteigend nach der Varianz
  - Wähle die k mit der höchsten Varianz

**ACHTUNG:** Selbst lineare Korrelation kann eindimensionale starke Varianzen auf beliebig viele Dimensionen aufteilen !



**Idee:** Rotiere die Datenmenge so, dass die Hauptausdehnungsrichtungen auf den Hauptachsen angetragen werden und erlaube so ein Varianzanalyse auf den Hauptkomponenten (Principal Components).



- Drehe so, dass die Richtung mit der höchsten Varianz auf eine Hauptachse gelegt wird.
  - Rotation entspricht einer Basistransformation mit einer Orthonormalbasis
    - Abbildung ist winkeltreu und abstandserhaltend:
- $$x \cdot B = x(b_{*,1}, \dots, b_{*,d}) = (\langle x, b_{*,1} \rangle, \dots, \langle x, b_{*,d} \rangle) \text{ mit } \forall_{i \neq j} \langle b_i, b_j \rangle = 0 \wedge \forall_{1 \leq i \leq d} \|b_i\| = 1$$
- $B$  entsteht aus der Richtung die jeweils die höchste Varianz aufweist und orthogonal zu allen bisher ausgewählten Basisvektoren ist.

- Kovarianzmatrix:
    - Beschreibt Varianzen und Korrelationen(Kovarianzen)
- $$VAR(X) = \frac{1}{n} \sum_{i=1}^n (x_i - \mu)^2 \quad COV(X, Y) = \frac{1}{n} \sum_{i=1}^n (x_i - \mu_x)(y_i - \mu_y)$$

- Kovarianzmatrix  $\Sigma_D$  ( $d \times d$ ) der  $n \times d$  Datenmatrix  $D$ :

$$\Sigma_D = \begin{pmatrix} VAR(X_1) & \dots & COV(X_1, X_d) \\ \vdots & \ddots & \vdots \\ COV(X_d, X_1) & \dots & VAR(X_d) \end{pmatrix} = \frac{1}{n} D_{cent}^T D_{cent}$$

- Eigenwert  $\lambda_i$  und Eigenvektor  $v_i$  einer Matrix  $d \times d$   $D$ :  $D \cdot v_i = \lambda_i \cdot v_i$
- Eigenwertzerlegung:  $M = V \Lambda V^T$

$$V = (v_1, \dots, v_d) \text{ mit } \forall_{i \neq j} \langle v_i, v_j \rangle = 0 \text{ und } \forall_{i=1}^d \|v_i\| = 1$$

$$\Lambda = \begin{pmatrix} \lambda_1 & \dots & 0 \\ \vdots & \ddots & \vdots \\ 0 & \dots & \lambda_d \end{pmatrix}$$

- Wendet man die Eigenwertzerlegung auf die Kovarianzmatrix an:

$$\Sigma_D = V\Lambda V^T = (v_1, \dots, v_d) \begin{pmatrix} \lambda_1 & 0 & 0 \\ 0 & \ddots & 0 \\ 0 & 0 & \lambda_d \end{pmatrix} \begin{pmatrix} v_1 \\ \vdots \\ v_d \end{pmatrix}$$

- $v_i$ : Orthogonale Hauptkomponenten
- $\lambda_i$ : Varianzen in den Dimensionen

**Achtung:** Bei nullwertigen sind bestimmte Dimensionen komplett als Linearkombination anderer Dimensionen darstellbar.

=> Abhilfe man addiert eine Diagonalmatrix mit einem kleinen Wert  $\delta_i$  auf alle Diagonalelemente

## Dimensionsreduktion via PCA

1. Berechne Kovarianzmatrix  $\Sigma$
2. Berechne Eigenwerte und Eigenvektoren von  $\Sigma$
3. Wähle die  $k$  größten Eigenwerte und deren Eigenvektoren ( $v'$ )
4. Die  $k$  resultierenden Eigenvektoren bilden eine Orthonormalbasis
5. Transformiere die  $n \times d$  Datenmatrix  $D$  mit der neuen  $d \times k$  Basis  $V'$ :

$$D \cdot V' = \begin{pmatrix} x_1 \\ \vdots \\ x_n \end{pmatrix} (v'_1, \dots, v'_k) = \begin{pmatrix} \langle x_1, v'_1 \rangle & \cdots & \langle x_1, v'_k \rangle \\ \vdots & \ddots & \vdots \\ \langle x_n, v'_1 \rangle & \cdots & \langle x_n, v'_k \rangle \end{pmatrix} = D$$

## Verallgemeinerung der Eigenwertzerlegung

Zerlegung einer beliebigen  $n \times d$  Matrix in 2 orthogonale Matrizen  $O, A$  und 1 Diagonalmatrix  $S$  aus Singulärwerten.

$$D = OSA^T$$

$$= \begin{bmatrix} x_{1,1} & \cdots & x_{1,d} \\ \vdots & \ddots & \vdots \\ x_{n,1} & \cdots & x_{n,d} \end{bmatrix} = \begin{bmatrix} o_{1,1} & \cdots & o_{1,k} \\ \vdots & \ddots & \vdots \\ o_{n,1} & \cdots & o_{n,k} \end{bmatrix} \cdot \begin{bmatrix} \lambda_1 & \cdots & 0 \\ \vdots & \ddots & \vdots \\ 0 & \cdots & \lambda_k \end{bmatrix} \cdot \begin{bmatrix} a_{1,1} & \cdots & a_{1,d} \\ \vdots & \ddots & \vdots \\ a_{k,1} & \cdots & a_{k,d} \end{bmatrix}$$

**O** :  $n \times k$  links-singuläre Vektoren, orthogonale Spaltenmatrix

**S** :  $k \times k$  Diagonalmatrix aus Singulär-Werten

**A** :  $k \times d$  rechts-singuläre Vektoren, orthogonale Spaltenmatrix

**k** : Rang der Datenmatrix  $D$  (max. Anzahl an unabhängigen Zeilen/Spalten)

Zerlegung mittels numerischer Algorithmen zur Matrix-Faktorisierung.

- Anwendung der SVD auf die Kovarianzmatrix

$$D_{cent} = OSA^T$$

$$\Sigma_D = \frac{1}{n} D_{cent}^T D_{cent} = (OSA^T)^T OSA^T = AS^T(O^T O)SA^T = A(S^T S)A^T = A \begin{pmatrix} \lambda_1^2 & \cdots & 0 \\ \vdots & \ddots & \vdots \\ 0 & \cdots & \lambda_k^2 \end{pmatrix} A^T$$

- In diesem Fall stellt  $A$  die Matrix der Eigenvektoren dar.
- Die Eigenwerte der Kovarianzmatrix sind die quadrierten Singulärwerte von  $D$
- Da  $O$  eine  $n \times k$  Matrix auf orthonormalen Spaltenvektoren ergibt  $O^T O$  die Einheitsmatrix  $E$

Fazit: Sowohl die Eigenwerte als auch die Eigenvektoren der Kovarianzmatrix können auch über die SVD der Datenmatrix bestimmt werden.

- ⇒ Je nach Dimensionalität und eingesetzten Berechnungsalgorithmen ist SVD eine bessere alternative
- ⇒ SVD ist auch bei nullwertigen Eigenwerten einsetzbar ( $k < d$  ist bei SVD erlaubt)

Zusammenhang zwischen den Orthonormalbasen  $O$  und  $A$ :  $D = OSA^T$

- $A$  enthält eine  $k$ -dimensionale Basis aus Eigenvektoren von  $D^T \cdot D$  (vorherige Folie)
- Analog:  $O$  enthält eine  $k$ -dimensionale Basis aus Eigenvektoren  $D \cdot D^T$ 
  - $D \cdot D^T$  ist die Kernelmatrix zum linearen Kernel  $\langle x, y \rangle$  (vgl. SVM aus KDD I)
  - Die Vektoren von  $A$  und  $O$  hängen dabei wie folgt zusammen

$$D_{cent} = OSA^T \Rightarrow O^T D_{cent} = O^T OSA^T = SA^T \Rightarrow S^{-1} O^T D_{cent} = A^T$$

$$\Rightarrow a_j = \sum_{i=1}^n o_{i,j} \cdot x_i$$

Der  $j$ -te  $d$ -dimensionale Eigenvektor kann als Linearkombination der Datenmenge mit dem Gewichtungsvektor des  $k$ -dimensionalen  $j$ -ten Eigenvektors dargestellt werden.

=> Hat man die Basis im Kernelraum kann man die Basis im Feature Raum bestimmen

=> Diese Beobachtung erlaubt die Berechnung der PCA in beliebigen Kernelräumen (Kernel PCA)

Sei  $K(x, y) = \langle \Phi(x), \Phi(y) \rangle$  eine Kernelfunktion zur nicht-linearen Transformation  $\Phi(x)$ .  
Annahme:  $K(x, y)$  ist bekannt aber  $\Phi(x)$  ist nicht explizit gegeben.

- Sei  $K$  die Kernelmatrix über  $D$ :  $K = \begin{pmatrix} K(x_1, x_1) & \dots & K(x_1, x_n) \\ \vdots & \ddots & \vdots \\ K(x_n, x_1) & \dots & K(x_n, x_n) \end{pmatrix}$
- Die Eigenwertzerlegung von  $K$  ergibt dann:  $K = VSV^T$   
wobei  $V$  eine  $n$ -dimensionale Basis aus Eigenvektoren von  $K$  ist
- Um  $D$  bzgl.  $V$  auf die Hauptkomponenten des Zielraums abzubilden müssen die Vektoren  $x_i$  in  $D$  mittels der Kernelfunktion  $K$  transformiert werden.

$$y' = \begin{pmatrix} \left\langle \Phi(y), \sum_{i=1}^n v_{i,1} \Phi(x_i) \right\rangle \\ \vdots \\ \left\langle \Phi(y), \sum_{i=1}^n v_{i,k} \Phi(x_i) \right\rangle \end{pmatrix} = \begin{pmatrix} \sum_{i=1}^n v_{i,1} \langle \Phi(y), \Phi(x_i) \rangle \\ \vdots \\ \sum_{i=1}^n v_{i,k} \langle \Phi(y), \Phi(x_i) \rangle \end{pmatrix} = \begin{pmatrix} \sum_{i=1}^n v_{i,1} K(y, x_i) \\ \vdots \\ \sum_{i=1}^n v_{i,k} K(y, x_i) \end{pmatrix}$$

SVD und Eigenwertzerlegung sind Standardverfahren aus der Mathematik.

- Matrixzerlegungen können aber auch als Optimierungsproblem formuliert werden.
- dies ermöglicht häufig eine Berechnung über numerischen Optimierung
- Bei der Formulierung als Optimierungsproblem wird die Diagonalmatrix häufig auf die resultierenden Matrizen aufgeteilt.

$$D = ASB^T = \left( A \begin{pmatrix} \sqrt{\lambda_1} & \dots & 0 \\ \vdots & \ddots & \vdots \\ 0 & \dots & \sqrt{\lambda_k} \end{pmatrix} \right) \left( \begin{pmatrix} \sqrt{\lambda_1} & \dots & 0 \\ \vdots & \ddots & \vdots \\ 0 & \dots & \sqrt{\lambda_k} \end{pmatrix} B^T \right) = UV^T$$

- Als Optimierungsproblem:  $L(U, V) = \|D - UV^T\|_f^2$   
mit  $\|M\|_f^2 = \sum_{i=1}^n \sum_{j=1}^m |m_{i,j}|^2$  (quadratische Frobeniusnorm einer Matrix)  
Nebenbedingungen:  $\forall_{i \neq j} : \langle v_i, v_j \rangle = 0 \wedge \langle u_i, u_j \rangle = 0$

**Idee:** Nutze Klasseninformationen um relevanten Teil des Raumes zu erhalten.

**Ziel:**

- Minimiere die Ähnlichkeit zwischen Objekten unterschiedlicher Klassen  
(Between Class Scatter Matrix:  $\Sigma_b$ )

$\Sigma_b$ : Kovarianzmatrix der Klassencentroide

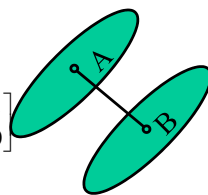
$$\bar{\mu} = \frac{1}{|C|} \sum_{c \in C} \mu_c$$

$$\Sigma_b = \frac{1}{|C|} \begin{bmatrix} \mu_1 - \bar{\mu} \\ \vdots \\ \mu_m - \bar{\mu} \end{bmatrix}^T \cdot \begin{bmatrix} \mu_1 - \bar{\mu} \\ \vdots \\ \mu_m - \bar{\mu} \end{bmatrix}$$

- Maximiere die Ähnlichkeit zwischen Objekten derselben Klasse  
(Within Class Scatter Matrix  $\Sigma_w$ )  
 $\Sigma$ : Durchschnittliche Kovarianzmatrix innerhalb der Klassen

$$\Sigma_b = \begin{bmatrix} 0 & 1 \\ 0 & 0 \end{bmatrix}$$

$$\Sigma_w = \begin{bmatrix} 0 & 1 \\ 0 & 0 \end{bmatrix} + \begin{bmatrix} 0 & 1 \\ 0 & 0 \end{bmatrix}$$



$$\Sigma_w = \frac{\sum_{C_i \in C} \Sigma_{C_i}}{|C|}$$

Suche Basisvektoren  $x_i$  so dass  $S = \frac{x_i^T \cdot \Sigma_b \cdot x_i}{x_i^T \cdot \Sigma_w \cdot x_i}$  maximal wird unter der Bedingung  $i \neq j: \langle x_i, x_j \rangle = 0$

**Berechnung:** Gesucht orthonormale Basis der Dimension  $d' < d$ .  
Rückführung des Problems auf Eigenwertproblem.

$$\lambda_i \cdot x_i = \lambda_i \cdot \Sigma_w^{-1} \cdot \Sigma_b$$

**Bemerkung:** Der Vektor mit der dem größten Eigenwert entspricht dem Normalenvektor der trennenden Hyperebene einer LDA (Fisher's Diskriminanzanalyse)

Fischer Faces haben Nachteile bzgl.  $\Sigma_b$  und  $\Sigma_w$ :

- Annahme mono-modaler Klassen:  
jede Klasse lässt sich durch 1 Normalverteilung darstellen  
=> Verteilung der Centroide modelliert  $\Sigma_b$   
=> Verteilung der Klasse basiert auf Kovarianz  $\Sigma_w$  für Klasse C
- Bei nicht-normalverteilten Klassen schlechte Darstellung der Daten

Relevant Component Analysis:

- Entfernen vollständig abhängiger Dimensionen (z.B. PCA mit Hilfe der SVD)
- Es existieren Chunks von denen man weiß das Sie ähnlich sind.

=> ersetze  $\Sigma_w$  durch Within-Chunk-Matrix: 
$$\Sigma_{wc} = \frac{1}{|C|} \sum_{C_i \in C} \frac{1}{|C_i|} C_i^T C_i$$

- Betrachtet man die Kovarianz aller Daten ist diese überwiegend durch unähnliche Objekte bestimmt:

$$\Sigma = \frac{1}{|D|} D^T D$$

**Beobachtung:** Nicht alle Elemente einer Klasse müssen gleich sein.

**Idee:** Bilde ein Optimierungsproblem, dass nur die Distanz zu den  $k$ -nächsten Nachbarn der gleichen Klasse zu minimieren.

- $y_{i,j}=1$  falls  $x_i$  und  $x_j$  in der gleichen Klasse.  $y_{i,j}=0$  sonst
- **Gesucht:**  $L: \mathbb{R}^d \rightarrow \mathbb{R}^d$  lineare Transformation des Raums:  $D(x, y) = \|L(x) - L(y)\|^2$
- Targetneighbors:  $T_x$   $k$ -nächste Nachbarn innerhalb der gleichen Klasse  
 $\eta_{i,j}=1$  :  $x_j$  ist Targetneighbor von  $x_i$ ,  $\eta_{i,j}=0$  sonst

- Lernen der Transformation über Minimieren der folgenden Fehlerfunktion:

$$E(L) = \sum_{i=1}^n \sum_{j=1}^n \eta_{i,j} \|L(x_i) - L(x_j)\|^2 + c \sum_{i=1}^n \sum_{j=1}^n \sum_{l=1}^n \eta_{i,j} (1 - y_{i,l}) \left[ 1 + \|L(x_i) - L(x_j)\|^2 - \|L(x_i) - L(x_l)\|^2 \right]_+$$

mit  $[z]_+ = \max(z, 0)$

- Optimierung über semidefinites Programm  
(Optimierungsproblem bei denen die zu optimierenden Parameter eine semidefinite Matrix bilden. hier  $L$  die Basis des Zielraumes)

- Lineare Basistransformationen bilden ein reiches Framework zur Optimierung von Feature-Räumen
- Es gibt unsupervised Methoden, die niedrig-varianze Faktoren eliminieren (PCA und SVD)
- Kernel PCA erlaubt die Berechnung der PCA in nicht-linearen Kernelräumen
- Es gibt Supervised Verfahren, die versuchen Distanzen zwischen Objekten der gleichen Klasse zu minimieren und Distanzen zwischen Objekten unterschiedlicher Klassen zu maximieren.
- Fischer Faces erweitern Lineare Diskriminanz Analyse basieren aber auf der Annahme normalverteilter Klassen
- Relevant Component Analysis(RCA) verallgemeinert diese Annahme und minimiert nur die Distanzen innerhalb von Clusters
- Large Margin Nearest Neighbor(LMNN) minimiert Distanzen zu den nächsten Nachbarn und bestraft kleine Distanzen zu nicht Target-Neighbors, die zu anderen Klassen gehören.

- S. Deerwester, S. Dumais, R. Harshman: *Indexing by Latent Semantic Analysis*, Journal of the American Society of Information Science, Vol. 41, 1990
- L. Yang and R. Jin. Distance metric learning: A comprehensive survey. Technical report, Department of Computer Science and Engineering, Michigan State University, 2006.
- K. Q. Weinberger and L. K. Saul. Distance metric learning for large margin nearest neighbor classification. *Journal of Machine Learning Research*, 10:207,244, 2009.
- P. Comon. Independent component analysis, a new concept? *Signal Processing*, 36(3):287{314, 1994.
- J. Davis, B. Kulis, S. Sra, and I. Dhillon. Information theoretic metric learning. In *NIPS 2006 Workshop on Learning to Compare Examples*, 2007.
- A. Bar-Hillel, T. Hertz, N. Shental, and D. Weinshall. Learning distance functions using equivalence relations. In *Proceedings of the 20th International Conference on Machine Learning (ICML)*, Washington, DC, USA, pages 11{18, 2003.